

# 隨从驱动原理

下 册

苏联 A.G. 约瑟夫扬 B.M. 卡岡著

水利电力出版社

## 內容提要

本書(上、下冊)敘述了各種隨從驅動(驅動系統)的理論和計算的基礎，以及隨從驅動線路中的各種主要元件(自整角機、執行電動機、放大裝置、產生加速信號和阻尼信號的裝置等)的理論和計算的基礎。

本書適用於在自動控制、自動調整和電力驅動方面工作的研究人員、高等學校教師和工程技術人員。

А.Г.ИОСИФЬЯН Б.М.КАГАН  
ОСНОВЫ СЛЕДЯЩЕГО ПРИВОДА  
ГОСЭНЕРГОИЗДАТ МОСКВА 1954

## 隨從驅動原理 下冊

根據蘇聯國立動力出版社1954年莫斯科版翻譯

左 觀 山譯

\*

1179D337

水利電力出版社出版(北京西郊科學路二星園)

北京市書刊出版業營業許可證出字第105號

水利電力出版社印刷廠排印 新華書店發行

\*

787×1092毫米開本 \* 諺印張 \* 250千字

1959年5月北京第1版

1959年5月北京第1次印刷(0001—5,180冊)

統一書號：15143·982 定價(第10類)1.60元

73.82

2455.9

下

## 目 录

<b>第八章 同步随从驅動的各种綫路</b>	<b>3</b>
8-1 精讀与粗讀自整角綫路的信号选择	3
8-2 使用电子管放大器和磁放大器的小功率同步随从驅動	11
8-3 使用閘流管放大器的同步隨从驅動	16
8-4 使用电力放大机的同步隨从驅動	21
8-5 电机水力同步隨从驅動	30
8-6 执行軸从极限位置的自动退出	33
<b>第九章 線性同步隨从驅動的理論</b>	<b>35</b>
9-1 隨从驅動系統的微分方程式的列寫	36
9-2 隨从驅動系統的變換函數的概念	43
9-3 隨從驅動的穩定性的概念	47
9-4 穩定性判定法	51
9-5 应用劳斯-胡維茨判定法来分析隨从驅動的稳定性	61
9-6 按照 A.B.米哈依洛夫判定法来分析隨从驅動的稳定性	69
9-7 隨从驅動的开环系統頻率特性，稳定性裕度的概念	75
9-8 利用幅相特性來分析隨从驅動的稳定性	77
9-9 电机水力隨从驅動理論的若干特点	94
9-10 隨从驅動的閉环系統頻率特性	99
9-11 隨从驅動的敏捷性	100
9-12 根据驅動的頻率特性來評判过渡過程質量的近似方法	112
9-13 根據開环系統幅相特性來判断过渡過程的质量	119
9-14 过渡過程曲線的近似作图法	126
9-15 隨从驅動的對數頻率特性	135
<b>第十章 非線性因素对于同步隨从驅動运行的影响</b>	<b>148</b>
10-1 同步隨从驅動的几种主要的非線性因素	148
10-2 关于非線性环节的等值幅相特性的正確概念	154
10-3 自振盪的振幅和频率的決定	158

10-4	具有限額功率的放大器 .....	165
10-5	具有不灵敏区和限額功率的放大器 .....	169
10-6	执行电动机与位差量測器之間的机械传动中的間隙 .....	174
10-7	干摩擦 .....	180
10-8	間隙和干摩擦 .....	186
10-9	放大器特性中的磁帶回饋 .....	191
10-10	执行电动机与反饋測速发电机之間的传动裝置中的間隙 .....	195
10-11	关于非綫性因素給予同步隨从驅動的过渡過程持續时间的影响的近似評判 .....	199
10-12	描繪非綫性系統的过渡過程曲線的近似頻率方法 .....	210
<b>第十一章 繼電隨从驅動 .....</b>		<b>226</b>
11-1	繼電隨从驅動的特点 .....	226
11-2	繼電隨从驅動的綫路舉例 .....	229
11-3	繼電隨从驅動的几項特性 .....	233
11-4	沒有不灵敏区的繼電隨从驅動 .....	234
11-5	沒有不灵敏区的繼電隨从驅動裝有有慣性的 輔助放大器的情形 .....	237
11-6	沒有不灵敏区的繼電隨从驅動在繼电器有时滞时的情形 .....	238
11-7	具有不灵敏区的繼電隨从驅動 .....	239
11-8	具有不灵敏区的繼電隨从驅動在回复系数 $\lambda < 1$ 时的情形 .....	244
11-9	具有按照位差角微商的附加順磁的繼電隨从驅動 .....	252
11-10	具有按照补偿速度的負反饋的繼電隨从驅動 .....	257
11-11	繼電隨从驅動中的过渡過程持續时间的近似評判 .....	259
11-12	繼電隨从驅動的过渡過程曲線的計算 .....	261
<b>第十二章 隨从驅動的統計力学初步 .....</b>		<b>267</b>
12-1	問題的提出 .....	267
12-2	随机過程的特性 .....	270
12-3	平急随机過程的特性 .....	274
12-4	随机信号的通过綫性系統 .....	282

73.82

24555.9

# 目 录

<b>第八章 同步随从驅動的各种綫路</b>	<b>3</b>
8-1 精讀与粗讀自整角綫路的信号选择	3
8-2 使用电子管放大器和磁放大器的小功率同步随从驅動	11
8-3 使用閘流管放大器的同步隨从驅動	16
8-4 使用电力放大机的同步隨从驅動	21
8-5 电机水力同步隨从驅動	30
8-6 执行軸从极限位置的自动退出	33
<b>第九章 線性同步隨从驅動的理論</b>	<b>35</b>
9-1 隨从驅動系統的微分方程式的列寫	36
9-2 隨从驅動系統的變換函数的概念	43
9-3 隨從驅動的穩定性的概念	47
9-4 穩定性制定法	51
9-5 应用劳斯-胡維茨判定法来分析隨从驅動的稳定性	61
9-6 按照 A.B.米哈依洛夫判定法来分析隨从驅動的稳定性	69
9-7 隨从驅動的开环系統頻率特性，稳定性裕度的概念	75
9-8 利用幅相特性来分析隨从驅動的稳定性	77
9-9 电机水力隨从驅動理論的若干特点	94
9-10 隨从驅動的閉环系統頻率特性	99
9-11 隨从驅動的敏捷性	100
9-12 根据驅動的頻率特性來評判過渡過程質量的近似方法	112
9-13 根據開環系統幅相特性來判斷過渡過程的質量	119
9-14 過渡過程曲線的近似作圖法	126
9-15 隨从驅動的對數頻率特性	135
<b>第十章 非線性因素对于同步隨从驅動运行的影响</b>	<b>148</b>
10-1 同步隨从驅動的几种主要的非線性因素	148
10-2 关于非線性环节的等值幅频特性的主波概念	154
10-3 自振盪的振幅增強有的快慢	158

10-4 具有限額功率的放大器 .....	165
10-5 具有不灵敏区和限額功率的放大器 .....	169
10-6 执行电动机与位差量測器之間的机械传动中的間隙 .....	174
10-7 干摩擦 .....	180
10-8 間隙和干摩擦 .....	186
10-9 放大器特性中的磁帶回繞 .....	191
10-10 执行电动机与反饋測速发电机之間的传动裝置中的間隙 .....	195
10-11 关于非綫性因素給予同步随从驅動的过渡过程 持續时间的影响的近似評判 .....	199
10-12 描繪非綫性系統的过渡过程曲綫的近似頻率方法 .....	210
<b>第十一章 繼電隨从驅動 .....</b>	<b>226</b>
11-1 繼電隨从驅動的特点 .....	226
11-2 繼電隨从驅動的綫路举例 .....	229
11-3 繼電隨从驅動的几項特性 .....	233
11-4 沒有不灵敏区的繼電隨从驅動 .....	234
11-5 没有不灵敏区的繼電隨从驅動裝有有慣性的 輔助放大器的情形 .....	237
11-6 没有不灵敏区的繼電隨从驅動在繼电器有时滞时的情形 .....	238
11-7 具有不灵敏区的繼電隨从驅動 .....	239
11-8 具有不灵敏区的繼電隨从驅動在回复系数 $\lambda < 1$ 时的情形 .....	244
11-9 具有按照位差角微商的附加順滙的繼電隨从驅動 .....	252
11-10 具有按照补偿速度的負反饋的繼電隨从驅動 .....	257
11-11 繼電隨从驅動中的过渡过程持續时间的近似評判 .....	259
11-12 繼電隨从驅動的过渡过程曲綫的計算 .....	261
<b>第十二章 随从驅動的統計力学初步 .....</b>	<b>267</b>
12-1 問題的提出 .....	267
12-2 随机過程的特性 .....	270
12-3 平急随机過程的特性 .....	274
12-4 随机信号的通过綫性系統 .....	282

## 第八章 同步随从驱动的各种线路

### 8-1. 精读与粗读自整角线路的信号选择

我們來討論使用自整角位差量測線路的隨從驅動系統所特有的一個环节。为了提高將执行軸确定在与主令軸无位差的位置时的准确度，我們要使用一种由精讀系統和粗讀系統組成的双重自整角線路。主令軸与粗讀自整角机发送器之間的傳动比，通常等子 1。粗讀自整角机发送器与精讀自整角机发送器之間联接有用来提高精讀自整角机轉速的机械傳动裝置。在执行軸与精讀及粗讀自整角机接收器之間，也裝置有同样的机械傳动。

图 8-1 所示，是作为位差角函数的精讀及粗讀自整角線路的兩個信号电压的有效值  $U_{y,r}$  和  $U_{y,p}$  的变化曲綫。沿横坐标軸标出的，是折算到粗讀自整角机軸上的位差角。在图 8-1 中，依照慣例，电压符号的改变，是表示信号电压的相位改变了  $180^\circ$ 。在描繪图 8-1 中的曲綫时，我們是取粗讀和精讀自整角机之間的傳动比为  $i_c = 11$ 。

研究一下这些电压曲綫，就可以看出，如果只使用精讀系統来进行控制，驅动就会有好几个稳定位置（每隔  $\frac{360}{i_c}$  度位差角就有一个）。驅动在任意位差角之下的正确运行，是依靠粗讀系統来保証的，这个系統只能給驅动提供一个稳定的位置，那就是与主令軸和执行軸的无位差位置相符合的位置。粗讀系統由于自整角線路本身的誤差，並不能保証使两个軸处于准确的无位差位置。主令軸和执行軸的

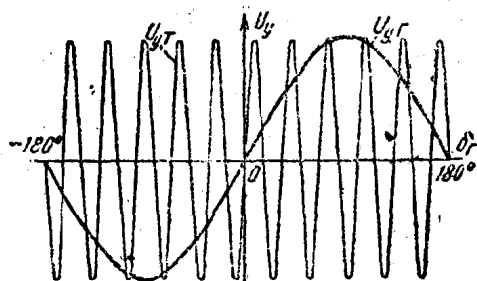


图 8-1 精讀及粗讀自整角線路的信号电压曲綫

准确的无位差位置，是利用精讀系統來達到的。但是，這一系統只有在很小的位差角之下（約在精讀尺度的 $150^{\circ}$ 以內），才能保証驅動的正確運行。

如果加于放大器的較入端之上的，是精讀和粗讀自整角線路的兩個控制電壓之和，那末，當位差角具有一定的大小時，精讀自整角線路的信號電壓就可能會與粗讀自整角線路的電壓相位相反（參看圖8-1），這樣就會使控制線路的正常運行遭受破壞。

由於自整角線路本身所固有的不準確性，精讀系統和粗讀系統的零值信號電壓所對應的執行軸位置，可能是彼此不相符合的。這兩種位置之間的差異，几乎完全是由粗讀自整角線路的誤差大小所決定的，因為精讀線路的誤差所發生的影響，並已由於粗讀和精讀自整角機之間裝有高速機械傳動而大大的減小了。由此可見，如果粗讀系統和精讀系統一同工作，則在位差角很小時，由於粗讀線路的誤差，執行軸就不會停止在精讀自整角線路所確定的位置，而會停止在另外一個能使精讀和粗讀自整角線路的信號電壓互相抵消的位置之上。

要使隨从驅動能夠正確地運行，就必須在位差角很小時，將粗讀自整角機的電壓開斷，只讓精讀自整角機的電壓發生作用；而在位差角較大時，則應將精讀自整角機的電壓開斷，使控制作用轉移到粗讀系統上去。

在隨從驅動系統中，這種將粗讀和精讀系統的信號自動地開斷和接通的操作，是由一種特殊的線路——即所謂自整角信號選擇器——來執行的。

現在，讓我們來討論幾種選擇器的線路。

**以粗讀自整角機作指示器運用的選擇器** 這種選擇裝置的線路圖已示于圖8-2中。

兩台精讀自整角機——發送器 $\Delta T$ 和接收器 $\Pi T$ ——是作變壓器運行的。接收器的單相繞組聯接在放大器的輸入端之上。

兩台粗讀自整角機——發送器 $\Delta \Gamma$ 和接收器 $\Pi \Gamma$ ——是作指示器運行的。自整角機 $\Delta \Gamma$ 和 $\Pi \Gamma$ 的單相繞組都聯接在交流電網之上。在粗讀自整角機接收器 $\Pi \Gamma$ 中，轉子和定子都可以轉動。定子（在圖8-2中，定

子上裝的是單相繞組)与联接在放大裝置的輸出端的执行电动机 $\Pi\Delta$ ，有着机械的联接。精讀自整角机接收器的轉子(單相的)，也是与电动机相联接的。

粗讀自整角机接收器的轉子，在整步力矩的作用之下，將停止在一个这样的位置之上：这个位置对于定子极軸的相对位置，就和发送器 $\Pi\Gamma$ 的轉子对于其极軸的相对位置完全一样。自整角机接收器的轉軸上裝有一个可动触点1。接触裝置 $K\Gamma$ 裝有兩個固定的触点2和3。

当主令軸和执行軸轉动时，自整角机 $\Pi\Gamma$ 的轉子就將从它的中央位置偏離一个等于位差角的角度。如果位差角小于 $4\sim 5^\circ$ ，则 $K\Gamma$ 的兩個触点都是开断的，因而对于驅动的控制將完全由精讀自整角綫路来担当。当位差角增加到 $4\sim 5^\circ$ 时， $K\Gamma$ 的兩個触点將依据位差角方向的不同而有一个閉合。于是，相应的繼电器 $P_1$ 或 $P_2$ 就开始动作。由于繼电器触点閉合的結果，就將有一个相位隨位差符号而定的电压，通过变压器 $TP$ 而加于放大器的輸入端之上。这个电压的大小是与电动机的最大轉速相对应的，並且它將比精讀自整角机的最大信号电压大得多，以致后者不能在驅动的运行中引起畸变。

图8-2的綫路图中所示的选择裝置，由于有触点存在，乃是复杂而不十分可靠的。

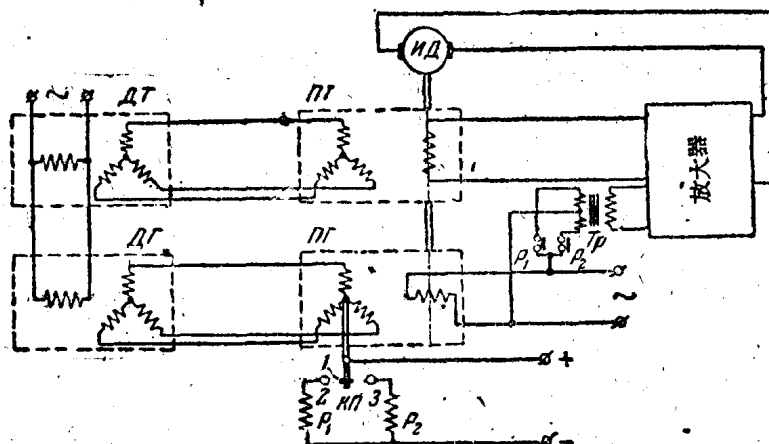


图 8-2 以自整角机作指示器运行的自整角信号選擇器的綫路图

**使用氖灯的无触点选择器** 选择器的线路图和自整角机的与之相联接的情形，已示于图8-3中。精读和粗读自整角机都是作变压器运行的。精读自整角机的信号，可以通过变压器 $TP_1$ 而直接加于主放大器的输入端之上。

粗读自整角机的信号电压，要经过粗读系统中的一个由电子管 $J_1$ 构成的放大器加以放大。输出变压器 $TP_2$ 的副绕组是经过两个氖灯 $J_2$ 和 $J_3$ ，而与精读系统的信号电路并联地接于主放大器的输入端之上的。氖灯在这个线路中的作用，就相当于两个无惯性的电压继电器。当位差角很小时，变压器 $TP_2$ 的副绕组上的电压将不足以使氖灯起燃。在这种情形下，粗读自整角机的信号电路，就从主放大器的输入端开断。这时的控制完全是按照精读自整角机的信号来进行的。

当位差角增加到精读尺度的 $90\sim 150^\circ$ 时，变压器 $TP_2$ 的副绕组电压将增大到足以使氖灯起燃的数值。这时，两个氖灯就把粗读自整角机的信号电路与主放大器的输入端联接起来。氖灯的起燃电压要比精读自整角机加于主放大器输入端上的最大信号电压大得多。因此，在位差角较大时，精读系统不会在驱动的运行中引起畸变。

**使用非线性电阻的选择器** 图8-4中所示，是自整角线路的一种以利用非线性电阻为基础的信号选择线路，这种线路中既没有接触器，也没有电子管。在这里，可以使用硒整流器来作为非线性电阻。当外加电压很小时，硒整流器的电阻很大。但随着电压的增加，整流器的电阻就会迅速地减小。

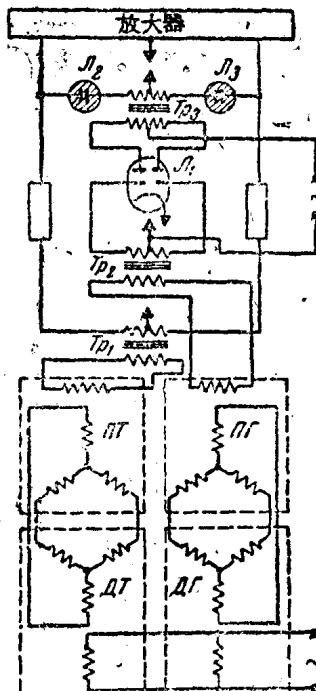


图 8-3 使用氖灯的自整角信号选择器的线路图

精讀和粗讀自整角線路的兩種信號，可以在電位計 $r_1$ — $r_2$ 之上相加起來。

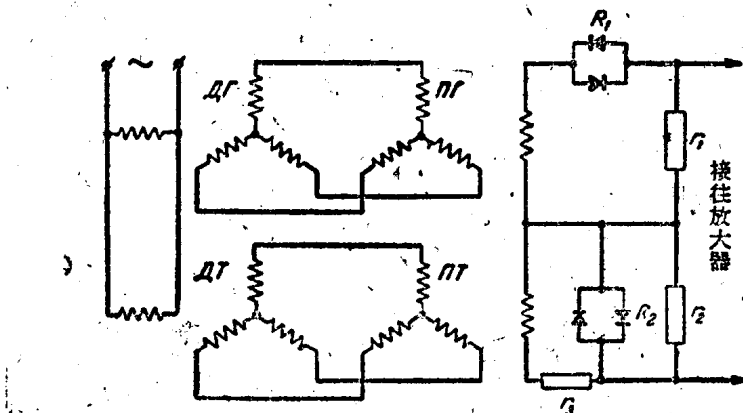


图 8-4 使用非线性电阻的自整角信号选择器的线路图

在粗讀自整角機接收器的單相繞組上，串聯有一個非線性電阻 $R_1$ ，它是由兩個向相反方向導電的硒整流器並聯而成的。電阻 $R_1$ 在交變電流的兩個半周之內，都可以讓電流通過。

當位差角很小時，粗讀自整角線路的電壓也很小，因此 $R_1$ 的電阻很大，而信號電壓就只有很小一部分加于輸出電阻 $r_1$ 之上。當位差角增大時，信號電壓也將隨之而增大，這就使得 $R_1$ 的電阻迅速地降低。這時，差不多全部控制電壓都加在輸出電阻 $r_1$ 之上。

精讀自整角線路的信號電壓，是經過電阻 $r_2$ 而加于電阻 $r_2$ 之上的，在電阻 $R_2$ 之上，還並聯有一個非線性的分路電阻 $R_2$ 。當精讀自整角機的信號電壓還很小時， $R_2$ 的電阻很大，這時精讀線路的輸出電壓將由電阻 $r_2$ 與 $r_3$ 的大小之比來決定。因為 $r_2$ 比 $r_3$ 大得多，故信號電壓的大部分將加在輸出電阻 $R_2$ 之上。當信號電壓增加時， $R_2$ 的電阻就迅速地降低。這時，電阻 $r_3$ 上的電壓降落將大大地增加，這樣一來，就限制了加于電阻 $r_2$ 之上的電壓的大小。

圖 8-5 中所示的諸曲線，表示了選擇器的輸出電壓隨位差角而變化的情形。曲線1所對應的，是只有粗讀自整角線路在工作的情形。曲線2所對應的，是只有精讀自整角線路在工作的情形。曲線3乃是選擇

器在精讀和粗讀自整角線路同时工作时的输出特性。虚綫曲綫 4 所表示的，是精讀自整角接收器的單相繞組的端电压。从这些曲綫可以看出，当位差角很小时，选择器的总特性曲綫的斜度是与精讀自整角線路的特性曲綫的斜度十分相近的。因为这种線路在位差角很大时，其作用是將精讀信号加以限制，而在位差角很小时，则是把粗讀信号加以切断，所以，在精讀和粗讀自整角線路同时工作时，运行的正确性並不会遭到破坏。

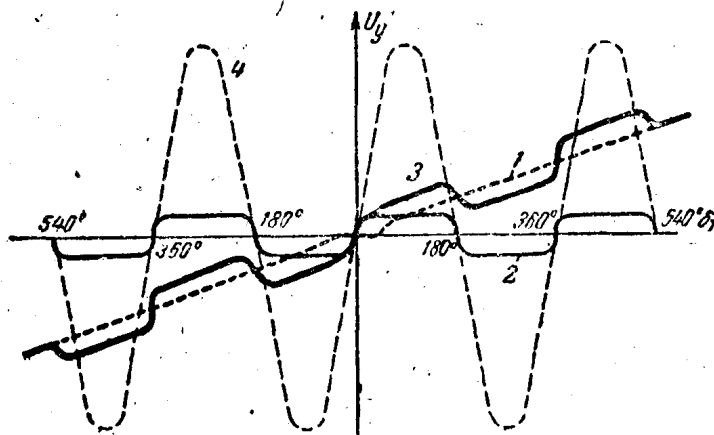


图 8-5 利用非线性电阻的精读和粗读自整角线路的信号选择情形

选择器的总特性曲綫(曲綫 3)上，有一些下凹的地方，这些下凹处所对应的，是位差角的这样一些数值：在这些数值之下，精讀和粗讀自整角線路的两个信号电压是相位相反的。我們必須使得选择器在特性曲綫下凹处的最小输出电压，大于与放大器的饱和情形相对应的电压。否则，在这些点上，就会发生执行电动机速度下降的现象。

現在讓我們來討論如何選擇粗讀和精讀自整角机之間的傳動比的問題。

在选择器开始將控制作用轉移到粗讀自整角線路时，位差角所具有的大小，必須超过粗讀自整角線路的誤差角的最大值①。不然，在使用具有繼電特性的各种选择器（例如使用接触裝置的选择器，和使

① 在誤差中，还包括有由于自整角机的零位置的調节不准确而引起的誤差。

用氖灯的选择器)时, 驱动就可能要在精读自整角机和粗读自整角机所分别确定的两个无位差位置之间进行振盪。为了使选择器的工作可靠起见, 换接时的位差角不得小于 $3\sim 4^\circ$ 。

增加粗读与精读自整角机之间的传动比, 可以增加驱动运行的准确度。但是, 这种传动比的增加, 不能超出一定的范围。当控制作用从精读自整角线路转移到粗读线路时, 位差角应该不超过精读尺度的 $\pm 120\sim 150^\circ$ , 因为如果再增加这个换接角度, 就会使精读自整角线路的信号电压大大的降低, 并且当这个角度大于 $180^\circ$ 时, 驱动的正常运行就要遭到破坏。

由此可见, 精读自整角机与粗读自整角机之间的传动比, 不应该超过 $30\sim 50$ 。精读和粗读自整角机之间的传动比, 应该尽可能选择成奇数。在这样的情形下, 正如图 8-1 中的信号电压曲线所显示的, 就不会在位差角为 $180^\circ$ 的地方出现虚假的无位差位置。虽然在这一位置上, 粗读系统已被选择器所开断, 但对于精读系统来说, 这个位置乃是一个不稳定的平衡位置。只要位差角发生很小的变化, 就足以使精读系统开始推动执行轴转向规定的无位差位置。然后, 粗读系统就可以接通, 使驱动进行整步。当位差角减小到 $3\sim 4^\circ$ 时, 精读系统又重新接通, 而这一系统就可以把执行轴准确地确定到规定的位置之上。

图 8-6 所示是当传动比为偶数时 ( $i_c=10$ ), 精读和粗读自整角机的信号电压的变化曲线。从这些曲线可以看出, 在这种情形下, 当位差角为 $180^\circ$ (粗读尺度的)时, 精读自整角机的发送器与接收器的两种转角之间, 相差将为整的周数, 因此,  $180^\circ$ 的位差角对于精读系统来说, 就是一个无位差的位置。当位差角接近 $180^\circ$ 时, 粗读系统即被选择器所开断。这样, 当传动比为偶数时,  $180^\circ$ 的位差角就是一个虚假的无位差位置。这时驱动将稳定地停留在这一位置之上, 因为如果这

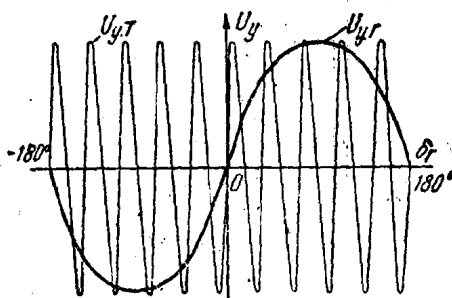


图 8-6 精读和粗读自整角机之间的传动比为偶数时的电压  $U_{yr}$  和  $U_y$  的曲线

一角度发生了微小的变化，精读系统会把执行轴推回到位差角 $\delta_r$ 等于 $180^\circ$ 的位置上去。

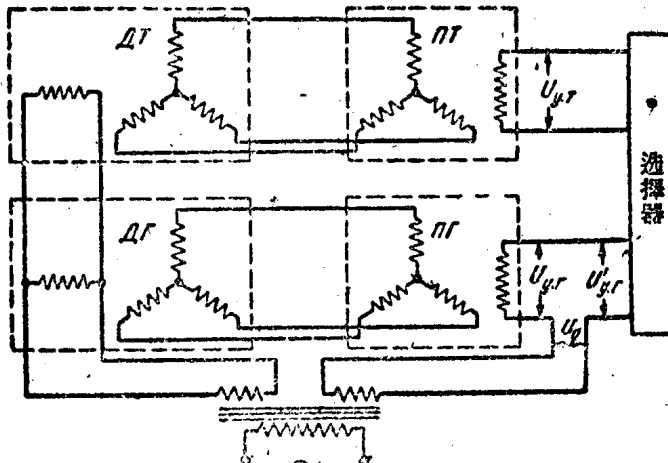


图 8-7 消除虚假无位差位置的线路

当传动比为偶数时，如果将粗读自整角线路的零位置加以偏移，就可以消除这种稳定的虚假无位差位置。要做到这一点，可以用一个电力变压器的偏压绕组来与粗读自整角机的单相绕组相串联(图8-7)，并使这个偏压绕组的电压 $U_y$ 约等于粗读自整角线路在位差角为

$$\delta_r = \frac{180^\circ}{2\theta_c}$$

时的信号电压。

当执行轴和主令轴处于无位差位置时，变压器的偏压绕组的电压 $U_y$ ，可以用粗读自整角机接收器的单相绕组的电压 $U_{y,r}$ 来抵消。要抵消这一偏压，可以把粗读系统的发送器或接收器的定子转过一个适当的角度。

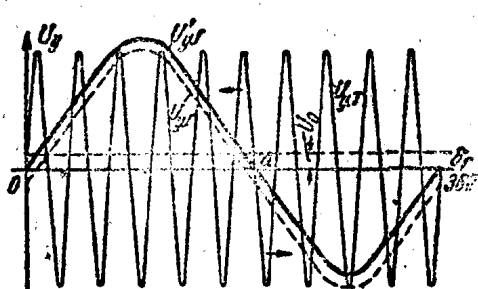


图 8-8 用偏压消除虚假无位差位置的情形

图8-3所示，是粗读电路的合成电压

$$U'_{y,r} = U_{y,r} + U_0$$

如何随位差角而变化的情形。当两个轴处于无位差位置时，合成电压  $U'_{y,r}$  是等于零的。第二个能使  $U'_{y,r}$  等于零的位差角数值（图 8-8 中的点  $a$ ），已经从  $\delta_r = 180^\circ$  的地方偏移了一个相当于精读自整角机的转子转过  $180^\circ$ （精读尺度的）的角度。在这种情形下，精读系统的作用，就和传动比为奇数时的情形一样。在与  $a$  点相对应的位差角之下， $U'_{y,r} = 0$ ，但这时随从驱动是处于不稳定平衡的状态。只要位差角的大小发生微小的变化，精读系统就会开始推动执行轴转向规定的无位差位置。

## 8-2. 使用电子管放大器和磁放大器的小功率同步随从驱动

执行电动机的功率只有数瓦到数十瓦的随从驱动，都属于小功率随从驱动之列。在这类装置中，用来作为执行电动机的，是直流电动机和杯形转子或鼠笼转子的二相交流电动机。

电动机的类型在很大的程度上决定了线路结构的特点。

图 8-9 中所示，是一个使用直流电动机和电子管放大器的小功率同步随从驱动的原理线路图 [参 82]。电动机  $M_d$  的电枢经过一个电阻

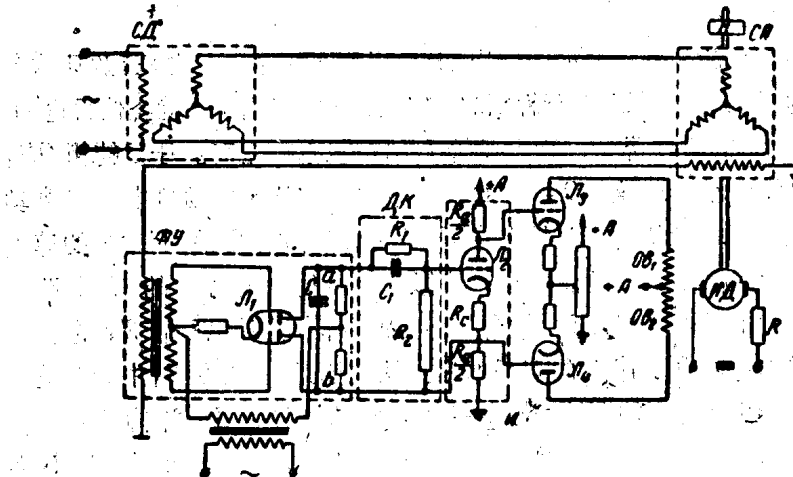


图 8-9 使用电子管放大器和直流电动机的小功率随从驱动的线路图

$R$  而接于直流电网之下。电动机裝有兩個作用方向彼此相反的激磁繞組  $OB_1$  和  $OB_2$ 。調节繞組  $OB_1$  和  $OB_2$  中的兩個电流之差，就可以实现对于电动机的控制。串联于电樞电路中的电阻  $R$ ，是用来在电动机速度变化时，保持电樞电流恆定的。

自整角机接收器的單相繞組所發生的位差电压，加于檢相放大器  $\Phi Y$  的輸入变压器之上。放大器  $\Phi Y$  的輸出电压的脈動，是利用电容器  $C$  来加以校平的。放大器  $\Phi Y$  的輸出端鉗  $a$ 、 $b$  之上的直流电压的大小和极性，决定于自整角綫路的信号电压的大小和相位，換句話說，也就是决定于位差角的大小和符号。放大器  $\Phi Y$  的輸出端联接在一个由电容器  $C$  和电阻  $R_1$ 、 $R_2$  組成的微分回路  $\Delta E$  的輸入端之上。电阻  $R_2$  之上的电压，含有一个与位差成正比例的分量，和一个近似地与位差微商成正比例而变化的分量。从电阻  $R_2$  取得的电压，加于倒相放大級  $H$  的柵极之上，这个倒相放大級是按照分段負載綫路組成的。在这种綫路中，为了得到兩個大小相等而极性相反的电压，以加于电子管  $J_3$  和  $J_4$  的柵极之上，把电子管  $J_2$  的負載电阻  $R_a$  分成了兩個相等的部分。一部分电阻接在电子管  $J_2$  的阳极电路中，另一部分电阻接在同一电子管的阴极电路中。这个倒相放大級应当調节到恰好使得：当电阻  $R_2$  上的电压数值为零时，电子管  $J_3$  和  $J_4$  中的兩個电流是彼此相等的。

如果在微分回路  $\Delta E$  的輸出端上，出現了一个信号电压，並且这个电压的极性是使倒相电子管  $J_2$  的电流增加的，那末，这就会使得电子管  $J_3$  的柵极电压降低，而电子管  $J_4$  的柵极电压增高。于是繞組  $OB_1$  中的电流減小，而繞組  $OB_2$  中的电流增加。这时，电动机中就有轉动力矩产生。电动机的电樞轉动时。將帶動負載  $H$  和自整角机  $C\pi$  的轉子向着使位差減小的一邊而轉动。当微分回路的輸出电压的极性改变时，通过电子管  $J_2$  的电流就要減小，而这样就会使电子管  $J_3$  的柵极电压增加，而电子管  $J_4$  的柵极电压降低。于是，繞組  $OB_1$  中的电流增加，而繞組  $OB_2$  中的电流減小。这时，电动机將向另一边轉动。

电动机的轉动力矩，要隨位差角的大小和位差角微商的大小而定。第一章中已經指出，引入按照微商的控制，可以提高隨从驅動的

稳定性，并减少过渡过程的持续时间。

激磁繞組 $OB_1$ 和 $OB_2$ ，都接有两个分路电阻（在图8-9中，这两个电阻没有示出），以便在激磁电流的变化迅速时，减小这两个繞組中所发生的过电压。

这种电动机是用改变激磁电流的办法来加以控制的线路，有如下的缺点：驱动的敏捷性低，并且在电枢电路中所接入的电阻之上，有很大的功率损失。

图8-10中所示，是一个使用交流二相电动机的小功率随从驱动的线路图[参32]。电动机的繞組1經過一个裂相电容器 $C$ 而接于交流电网，电动机的繞組2則接于电子管放大器的输出端之上。当主命轴和执行轴之間有位差发生时，自整角线路就有一个信号电压加于电子管放大器的輸入端之上（加在输入变压器 $TP_1$ 的原繞組上）。在变压器 $TP_1$ 的部分副繞組上，接有一个微分回路 $\mu\Phi$ 。这个微分回路是按照双T形滤波线路組成，并且是调谐到自整角线路的供电频率的。这种回路的微分作用，已在第一章中詳加討論。这样一来，加于放大管 $J_1$ 的栅极之上的交流信号电压，就是分別与位差角及其微商成比例的两个信号之和。

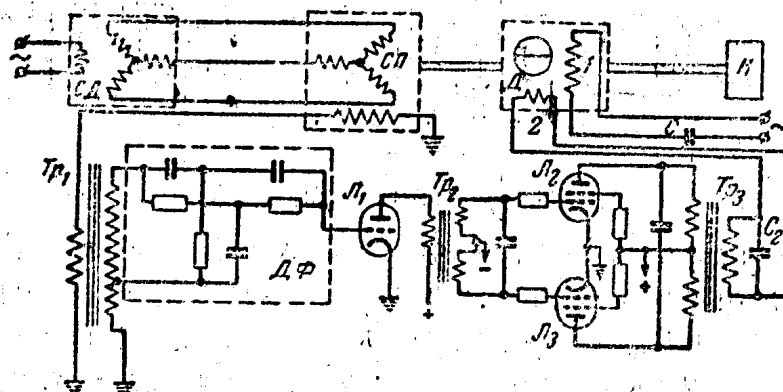


图 8-10 使用电子管放大器和二相异步电动机的小功率随从驱动的线路图

电子管放大器具有两个放大級。第一个放大級是一个三极管 $J_1$ 。放大管的输出級（功率放大器），是由两个大功率的四极管 $J_2$ 和 $J_3$ 按